

ارائه الگوریتم شناسایی رادارها مبتنی بر فیلتر کالمون

علی ناصری*

استادیار دانشگاه جامع امام حسین(ع)

(دریافت: ۹۲/۰۴/۳۰، پذیرش: ۹۲/۰۶/۰۲)

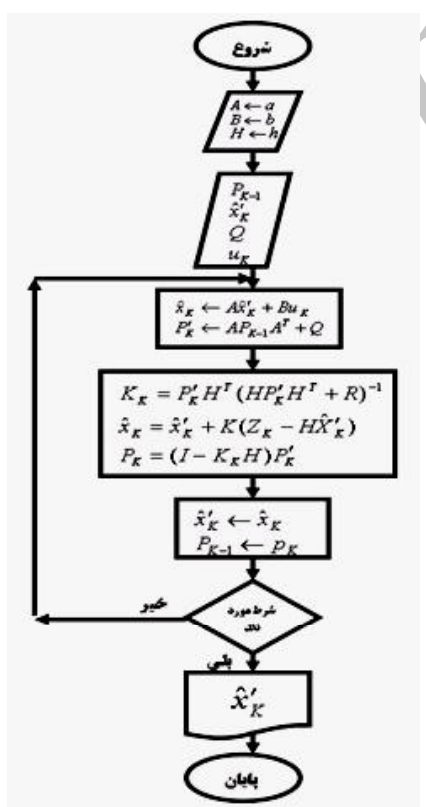
چکیده

در جنگ الکترونیک، بخش پشتیبانی الکترونیک (ES) وظیفه شناسایی سیستم‌های مخابراتی و الکترونیکی طرف مقابل را به‌عهده دارد. رادارها مهم‌ترین بخش سیستم‌های الکترونیکی می‌باشند بنابراین، شناسایی رادارها از اهمیت ویژه‌ای برخوردار است و این اهمیت به حدی است که تعیین کننده توان جنگ الکترونیکی ارتش مربوط است. تاکنون الگوریتم‌های زیادی برای شناسایی رادارها ارائه شده است. بیشینه دققی که تاکنون این الگوریتم‌ها به دست داده‌اند با وجود پنج درصد پالس گمشده و پنج درصد نویز ۹۳٪ است. در مقاله حاضر، الگوریتمی ارائه می‌شود که با استفاده از فیلتر کالمون تعمیم یافته متوسط دققی معادل ۹۷/۲٪ دارد. لازم به ذکر است که این الگوریتم دارای حجم محاسباتی معادل $3/23 N^2$ است که به دلیل داشتن معادله بازگشتی، می‌توان آن را با سیستم‌های پردازش موازی (آرایه‌های سیستولیک) پیاده‌سازی نمود.

واژه‌های کلیدی: کالمون فیلتر، جنگ الکترونیک، پشتیبانی الکترونیکی، الگوریتم، شناسایی.

۱. مقدمه

شکل ۱ الگوریتم فیلتر کالمون را نشان می‌دهد. در مدل مورد نظر ماتریس A و H را ثابت فرض نموده ولی می‌توان هر دو را متغیر با زمان یعنی A_k ، H_k در نظر گرفت.



شکل ۱: الگوریتم فیلتر کالمون [۲]

روش‌های مختلفی برای جadasازی رشته پالس‌های متداخل راداری ارائه شده که با وجود پنج درصد پالس گمشده و پنج درصد نویز، متوسط دققی معادل ۹۳٪ به دست خواهد داد [۱۱ و ۱۲]. این الگوریتم‌ها برای جadasازی رشته پالس متداخلی با N پالس، حجم عملیاتی معادل N^2 خواهد داشت [۳]. در مقاله حاضر، الگوریتمی که بر اساس فیلتر کالمون تعمیم یافته طراحی شده است، برای جadasازی رشته پالس‌های متداخل راداری ارائه می‌شود. معادلات کالمون فیلتر گستته در مرحله به‌هنگام کردن زمان و اندازه‌گیری، در جدول ۱ نشان داده شده است.

جدول ۱: معادلات به‌هنگام کردن زمان و اندازه‌گیری [۱]

| معادلات کالمون فیلتر گستته در مرحله به‌هنگام کردن زمان | معادلات کالمون فیلتر گستته در مرحله به‌هنگام کردن اندازه‌گیری |
|---|--|
| $K_k = P'_kH^T(HP'_kH^T + R)^{-1}$ $\hat{x}_k = \hat{x}'_k + K(Z_k - H\hat{x}'_k)$ $P_k = (I - K_kH)P'_k$ | $\hat{x}'_k = A\hat{x}_{k-1} + BV_k$ $P'_k = AP_{k-1}A^T + Q$ |

در روابط جدول ۱، \hat{x}'_k متغیرهای حالت، A ماتریس حالت، B ماتریس ورودی، V نویز اندازه‌گیری، P ماتریس کواریانس تخمین ثانویه، Q نویز سیستم، I ماتریس یک، K بهره کالمون، H ماتریس خروجی، R کواریانس نویز اندازه‌گیری و Z خروجی است.

* ایمیل نویسنده پاسخگو: anaseri@ihu.ac.ir

در این الگوریتم با تخمین فاز و فرکانس تکرار پالس رشته پالس‌های مداخل شده توسط فیلتر کالمن تعمیم یافته، عملیات جداسازی و شناسایی رشته پالس‌ها و در نتیجه رادارها انجام می‌شود. فیلتر کالمن تعمیم یافته از مدل سیگنال موجود، طی دو مرحله زیر ساخته خواهد شد.

(الف) خطی کردن (x_k) طبق روابط زیر:

$$H_k^s = [\dots, \partial h_k^s(x_k) / \partial f_k^{(i)}, \dots, \partial h_k^s(x_k) / \partial \theta_k^{(i)}, \dots]$$

$$\frac{\partial h_k^s}{\partial f_k^{(i)}} = k + 2k \cos(2\pi f_k^{(i)} k - \theta_k^{(i)})$$

$$\frac{\partial h_k^s}{\partial \theta_k^{(i)}} = -\frac{1}{2\pi} - \frac{1}{\pi} \cos(2\pi f_k^{(i)} k - \theta_k^{(i)})$$

(ب) ساده کردن معادلات فیلتر کالمن تعمیم یافته به وسیله معادله حالت ثابت در مدل سیگنال، که نتایج آن در روابط زیر نشان داده شده است:

$$\hat{X}_{k+1/k} = \hat{X}_{k/k-1} + K_k \left[y_k - h_k(\hat{X}_{k/k-1}) \right]$$

$$K_k = P_{k/k-1} H_k^s (H_k^s P_{k/k-1} H_k^s + R_k)^{-1}$$

$$P_{k+1/k} = P_{k/k-1} - K_k H_k^s P_{k/k-1} + Q_k$$

در روابط بالا، $\hat{X}_{k+1/k}$ تخمین فیلتر شده‌ای از K_k ، X_{k+1} بهره کالمن و $P_{k/k-1}$ ماتریس کواریانس خطا در اندازه معلوم در $k-1$ است. تخمین ناهمواری سیگنال ورودی $(h_k(\hat{X}_{k+1/k}))$ در معادلات جدید حالت استفاده می‌شود.

در اینجا مقداده‌ی اولیه با $\hat{X}_{0/-1} = \hat{X}_0$ صورت می‌گیرد و $P_{0/-1} = P_0$ می‌باشد.

۳. ارزیابی الگوریتم پیشنهادی

در این بخش، پنج محیط راداری با رادارهای متفاوت در قالب چهار حالت، جهت ارزیابی روش پیشنهادی مدنظر قرار گرفته است. رشته پالس مداخل هر محیط راداری توسط سیمولاتور پالس‌های مداخل راداری ارائه شده در مقاله [۱۳] تهیه شده و سپس با الگوریتم پیشنهادی، مورد شناسایی و جداسازی قرار گرفته است. لازم به توضیح است که الگوریتم پیشنهادی توسط نرم‌افزار مطلب پیاده‌سازی شده و نتایج حاصل برای حالت‌ها، خروجی نرم افزار ذکر شده می‌باشد.

حالت ۱: در این حالت، رشته پالس‌های مداخل چهار رادار با مشخصات جدول ۲ با سیمولاتور پالس‌های راداری [۱۳] با ۷۵٪ پالس گمشده و ۲۵٪ نویز تهیه شده و با الگوریتم پیشنهادی مورد شناسایی قرار گرفته‌اند.

همان‌طور که در فلوچارت شکل ۱ ملاحظه می‌شود، در مرحله اول ماتریس‌های A, B, H ، به عنوان ورودی به ماتریس اعمال می‌شود و همچنین مقادیر P, Q, x و u (ورودی) معلوم هستند. شرط موردنظر همان ورود همه پالس‌ها است و k اندیس زمان و یا زمان نمونه‌برداری یا فواصل پالس‌ها می‌باشد. الگوریتم تخمین کالمن فیلتر در دو مرحله به شرح زیر انجام می‌شود:

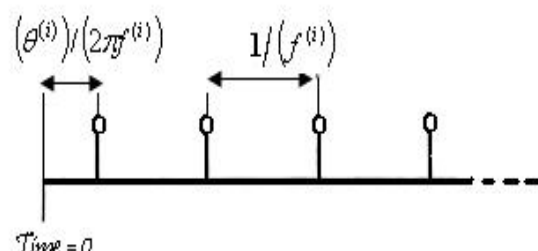
(الف) به هنگام کردن که در این مرحله زمان با اضافه کردن K به سمت جلو حرکت کرده و با استفاده از متغیرهای حالت تخمین زده شده در مرحله قبل و ماتریس کواریانس نویز Q در حالت قبل مقدار تخمین P_{k-1} ماتریس کواریانس تخمین ثانویه P_{k-1} جدید حالت‌ها یعنی تخمین اولیه برای مرحله قبل به دست می‌آید. این بدان معناست که حالت‌ها پیش‌بینی شده و ماتریس کواریانس خطای تخمین اولیه P_K تشکیل می‌شود.

(ب) به هنگام کردن اندازه‌گیری خروجی با استفاده از حالت‌های پیش‌بینی شده در مرحله قبل، صحبت پیش‌بینی شده در مرحله قبل بررسی و در صورت وجود اختلاف، مقدار تخمین بهبود یافته و K_k و P_k و \hat{X}_k تخمین زده می‌شود.

در ادامه به الگوریتم پیشنهادی در بخش ۲، ارزیابی الگوریتم پیشنهادی در بخش ۳ و نتیجه گیری در بخش ۴ پرداخته می‌شود.

۲. الگوریتم پیشنهادی

در این بخش الگوریتمی ارائه می‌شود که در آن، جداسازی بر اساس اینکه رشته پالس‌های مداخل راداری دریافتی در گیرنده‌های ESM و ELITN، فرکانس‌های تکرار پالس و فازهای متفاوت دارند، انجام خواهد شد. در این روش برای مدل کردن سیگنال، فرض می‌شود $\theta^{(i)}$ تعداد منابع رشته پالس پریودیک باشد و $f^{(i)}$ و $\phi^{(i)}$ فرکانس تکرار پالس و فاز اامین منبع بوده و پالس‌ها به ازای $i \in [1, M]$ و $n = 0, 1, 2, \dots$ به صورت مداخل دریافت شوند. با این فرضیه‌ها، در زمان‌های $(2\pi n + \theta^{(i)}) / (2\pi f^{(i)})$ سیگنال‌ها از منابع ارسال می‌شوند. سیگنال مداخل دریافت شده شامل ترکیبی از M رشته پالس تولید شده به وسیله منابع t_1, t_2, \dots, t_N زمان‌های ورودی N پالس متولی می‌باشد. شکل ۲ یک رشته از پالس و پارامترهای آن را نشان می‌دهد.



شکل ۲: نمایش پارامترهای یک رشته پالس [۲]

جدول ۳: مقادیر تخمین‌زده شده برای فاز و فرکانس تکرار پالس رادارهای جدول ۲

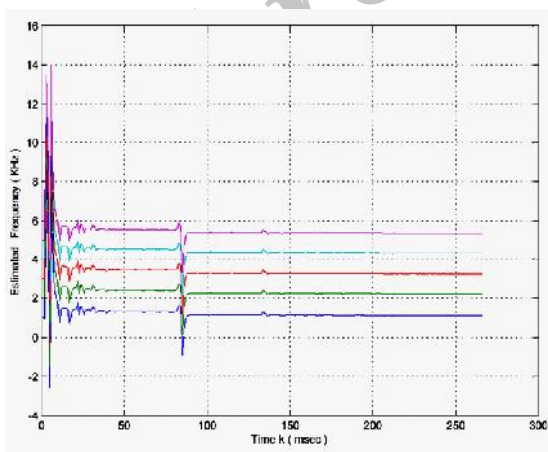
| ردیف | فرکانس تکرار پالس (KHz) | مقدار تخمین‌زده شده فاز (Rad) |
|------|-------------------------|-------------------------------|
| ۱ | ۱/۳۸۲۴ | ۴/۱۹۱۵ |
| ۲ | ۱/۷۸۰۵ | ۵/۰۹۱۱ |
| ۳ | ۲/۰۰۵۶ | ۵/۱۷۶۲ |
| ۴ | ۲/۳۱۶۸ | ۲/۱۸۲۲ |
| ۵ | ۷/۶۵۶۰ | ۲/۲۴۰۵ |

حالت ۲: در این حالت نیز رشته پالس‌های متداخل پسنج رادار با مشخصات جدول ۴ با سیمولاتور پالس‌های راداری [۱۳] با ۵٪ پالس گمشده و ۵٪ نویز تهیه شده و با الگوریتم پیشنهادی مورد شناسایی قرار گرفته‌اند.

جدول ۴: فرکانس تکرار پالس و فاز رادارهای محیط (حالت ۲)

| ردیف | فرکانس تکرار پالس (KHz) | مقدار واقعی فاز (Rad) |
|------|-------------------------|-----------------------|
| ۱ | ۵/۳۲۳۸ | ۵/۳۰۹۸ |
| ۲ | ۱/۷۳۶۴ | ۱/۰۳۸۳ |
| ۳ | ۲/۰۸۳۰ | ۴/۹۰۲۷ |
| ۴ | ۲/۷۵۹۶ | ۴/۴۹۵۸ |
| ۵ | ۴/۲۲۴۴ | ۲/۳۲۶۳ |

نمودارهای تخمین فاز و فرکانس تکرار پالس به دست آمده از روش پیشنهادی برای رادارهای با مشخصات جدول ۴ در شکل‌های ۵ و ۶ نشان داده شده است.



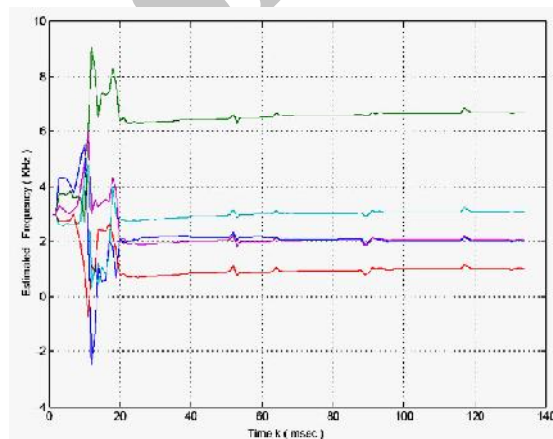
شکل ۵: نمودار فرکانس تکرار پالس تخمین‌زده شده با روش پیشنهادی برای رادارهای با مشخصات جدول ۴

جدول ۲: فاز و فرکانس تکرار پالس رادارهای محیط (حالات ۱)

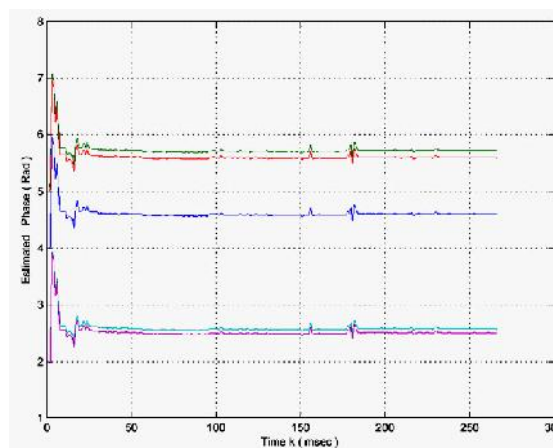
| ردیف | فرکانس تکرار پالس (KHz) | مقدار واقعی فرکانس (Rad) |
|------|-------------------------|--------------------------|
| ۱ | ۱/۳۲۳۸ | ۴/۴۹۵۸ |
| ۲ | ۱/۷۳۶۴ | ۵/۳۰۹۸ |
| ۳ | ۲/۰۸۳۰ | ۴/۹۰۲۷ |
| ۴ | ۲/۷۵۹۶ | ۲/۰۳۸۳ |
| ۵ | ۴/۲۲۴۴ | ۲/۳۲۶۳ |

نمودارهای تخمین فاز و فرکانس تکرار پالس به دست آمده از روش پیشنهادی برای رادارهای با مشخصات جدول ۲ در شکل‌های ۳ و ۴ نشان داده شده است.

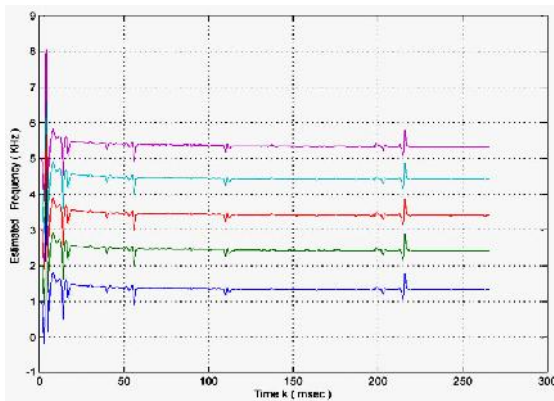
جدول ۳ متوسط مقادیر حاصل از تخمین فرکانس تکرار پالس و فاز نمودار شکل‌های ۳ و ۴ را نشان می‌دهد.



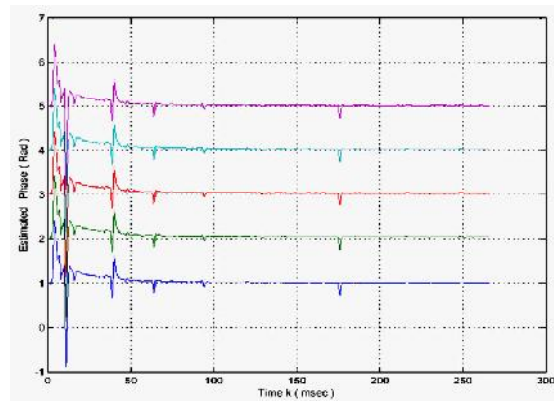
شکل ۳: نمودار فرکانس تکرار پالس تخمین‌زده شده با روش پیشنهادی برای رادارهای جدول ۲



شکل ۴: نمودار فازهای تخمین‌زده شده با روش پیشنهادی برای رادارهای جدول ۲



شکل ۷: فرکانس تکرار پالس تخمین‌زده شده با روش پیشنهادی برای رادارهای جدول ۶

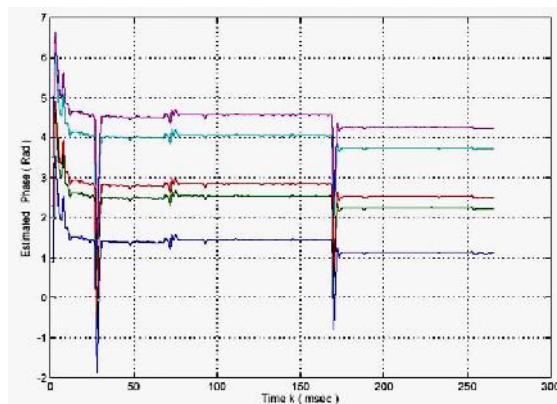


شکل ۶: نمودار فاز تخمین‌زده شده با روش پیشنهادی برای رادارهای جدول ۴

جدول ۵: متوسط مقادیر تخمین‌زده شده فاز و فرکانس تکرار پالس با روش پیشنهادی برای رادارهای جدول ۴

| ردیف | مقدار تخمین‌زده شده فاز (Rad) | مقدار تخمین‌زده شده فرکانس تکرار پالس (KHz) |
|------|-------------------------------|---|
| ۱ | ۵/۳۲۶۳ | ۵/۲۸۸۲ |
| ۲ | ۱/۴۹۵۸ | ۱/۸۳۳۵ |
| ۳ | ۳/۹۰۲۷ | ۲/۳۶۰۷ |
| ۴ | ۴/۰۳۸۳ | ۲/۹۶۷۷ |
| ۵ | ۲/۹۶۷۷ | ۴/۷۲۰۳ |

جدول ۵ متوسط مقادیر حاصل از تخمین فرکانس تکرار پالس و فاز نمودار شکل‌های ۵ و ۶ را نشان می‌دهد.



شکل ۸: نمودار فازهای تخمین‌زده شده با روش پیشنهادی برای رادارهای جدول ۶

جدول ۷ متوسط مقادیر حاصل از تخمین فرکانس تکرار پالس و فاز نمودار شکل‌های ۷ و ۸ را نشان می‌دهد. با مقایسه مقدار تخمین‌زده شده در این جدول با مقادیر واقعی جدول ۶، دقت تخمین و به دنبال آن دقت شناسایی مشخص می‌شود.

جدول ۷: متوسط مقادیر تخمین‌زده شده فاز و فرکانس تکرار پالس با روش پیشنهادی برای رادارهای جدول ۶

| ردیف | مقدار تخمین‌زده شده فاز (Rad) | مقدار تخمین‌زده شده فرکانس تکرار پالس (KHz) |
|------|-------------------------------|---|
| ۱ | ۱/۱۱۷۱ | ۱/۴۴۵۳ |
| ۲ | ۲/۲۲۱۰ | ۲/۶۱۱۳ |
| ۳ | ۲/۵۰۵۳ | ۳/۳۷۸۷ |
| ۴ | ۳/۷۱۰۳ | ۴/۴۸۰۱ |
| ۵ | ۴/۲۲۶۳ | ۵/۴۱۸۶ |

حالت ۴: در این حالت نیز رشته پالس‌های متداخل پنج رادار با مشخصات جدول ۸ با سیمولاتور پالس‌های راداری [۱۳] با ۵٪ پالس گمشده و ۵٪ نویز تهیه شده و با الگوریتم پیشنهادی مورد شناسایی واقع شده‌اند.

حالت ۳: در این حالت نیز رشته پالس‌های متداخل پنج رادار با مشخصات جدول ۶ با سیمولاتور پالس‌های راداری با ۵٪ پالس گمشده و ۵٪ نویز تهیه شده و با الگوریتم پیشنهادی مورد شناسایی واقع شده اند [۱۳].

جدول ۶: فرکانس تکرار پالس و فاز رادارهای محیط (حالات ۳)

| ردیف | مقدار واقعی فرکانس تکرار پالس (KHz) | مقدار تخمین‌زده شده فاز (Rad) |
|------|-------------------------------------|-------------------------------|
| ۱ | ۱/۱۰۰۰ | ۱/۵۷۰۰ |
| ۲ | ۲/۷۰۰۰ | ۲/۲۹۰۰ |
| ۳ | ۳/۱۰۰۰ | ۲/۹۰۰۰ |
| ۴ | ۴/۹۰۰۰ | ۳/۵۵۰۰ |
| ۵ | ۵/۵۰۰۰ | ۴/۲۶۰۰ |

نمودارهای تخمین فاز و فرکانس تکرار پالس به دست آمده از روش پیشنهادی برای رادارهای با مشخصات جدول ۶، در شکل‌های ۷ و ۸ نشان داده شده است.

جدول ۹: متوسط مقادیر تخمین‌زده شده فاز و فرکانس تکرار پالس با روش پیشنهادی برای رادارهای جدول ۸

| مقدار تخمین‌زده شده فاز (Rad) | مقدار تخمین‌زده شده فرکانس تکرار پالس (KHz) | ردیف |
|-------------------------------|---|------|
| ۸/۲۷۶۰ | ۱۰/۲۶۴ | ۱ |
| ۱۰/۲۴۲ | ۹/۶۵۲۵ | ۲ |
| ۸/۵۶۸۷ | ۸/۲۰۵۷ | ۳ |
| ۷/۳۶۳۵ | ۷/۳۸۳۴ | ۴ |

۴. نتیجه‌گیری

الگوریتم‌های ارائه شده قبلی، برای جداسازی رشته پالس‌های متداخل راداری با وجود پنج درصد پالس گمشده و پنج درصد نویز، حداقل دقیقی معادل ۹۳٪ به دست خواهند داد. این الگوریتم برای جداسازی رشته پالس متداخلی با N پالس، حجم عملیاتی معادل $3N^2$ خواهند داشت. الگوریتم پیشنهادی قادر به تخمین فرکانس تکرار پالس و فاز رشته پالس ستاریوهای های مختلف است. نتایج شبیه‌سازی الگوریتم پیشنهادی برای ۱۰۰ سناریو راداری نشان داد این الگوریتم دقیقی معادل ۹۷٪ دارد. در ضمن این الگوریتم دارای حجم محاسباتی معادل $3.23N^2$ است که بهدلیل داشتن معادله بازگشتی، می‌توان آن را با سیستم‌های پردازش موازی (آرایه‌های سیستولیک) پیاده‌سازی کرد.

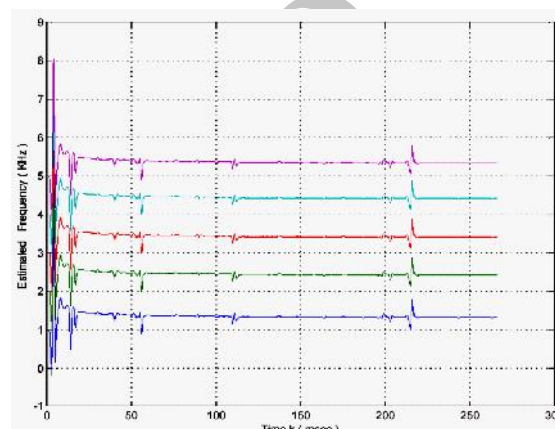
۵. مراجع

- [1] A. AKSOY, "A Multicase Comparative Assessment of the Ensemble Kalman Filter for Assimilationof Radar Observations,ITCJ con"; pp. 253-263, 2010.
- [2] A. Aksoy, D. C. Dowell and C. Snyder,: "A Multicasecomparative Assessment of the Ensemble Kalman Filter For Assimilation of Radar Observations"; Part I: Storm-Scale Analyses. Mon. Wea. Rev. Vol.137, pp 1805–1824, 2009
- [3] H. S. Shahhoseini, A. Naseri, M. Naderi, "Matrix Multistage Clustering of Interleaved Pulse Train"; IASTED Int. Conf. Signal Proc. Pattern Recognition and Application ,Greece, pp. 98-101, 2002.
- [4] H. S. Shahhoseini, A. Naseri,M.Naderi, "A New Matrix Method for Pulse Train Identification", IEEE proc. MELECON, pp. 183-187, 2002.
- [5] T. Conroy, J. B. Moore, "On The Estimation of Interleaved Pulse Train Phases", fifth international symposium onsignal processing and its applications, ISSPA 99,Brisbane, Australia, pp.223-226, 22-25, 1999.
- [6] A. Logothetis, V. Krishnamurthy, "An Interval-Amplitude Algorithm For Deinterleaving Stochastic Pulse TrainSources"; IEEE transactions on signal processing, vol. 46, No. 5, pp. 1344-1350, 1998.
- [7] R. J. Orsi, J. B. Moore, R. E.Mahony, "Interleaved Pulse Train Spectrum Estimation"; International Symposium on Signal Processing and Its Applications, ISSPA, Gold Coast, Australia, pp. 125-128, 25-30, 1996.

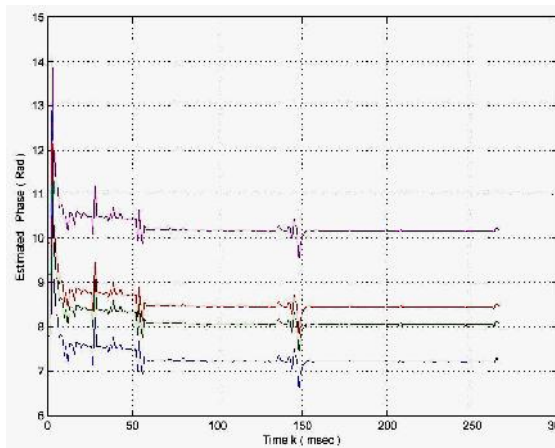
جدول ۸: فرکانس تکرار پالس و فاز رادارهای محیط (حالت ۴)

| ردیف | پالس (KHz) | مقدار واقعی فرکانس تکرار (KHz) | مقدار واقعی فرکانس تکرار (Rad) |
|------|------------|--------------------------------|--------------------------------|
| ۱ | ۱۰/۲۰۰ | ۱۰/۲۰۰ | ۸/۰۰۰۰ |
| ۲ | ۹/۸۰۰۰ | ۹/۷۰۰۰ | ۱۰/۷۰۰۰ |
| ۳ | ۸/۳۰۰۰ | ۸/۲۰۰۰ | ۸/۲۷۶۰ |
| ۴ | ۷/۸۰۰۰ | ۷/۳۸۳۴ | ۷/۳۶۳۵ |

نمودارهای تخمین فاز و فرکانس تکرار پالس به دست آمده از روش پیشنهادی برای رادارهای جدول ۸ در شکل‌های ۹ و ۱۰ نشان داده شده است.



شکل ۹: نمودار فرکانس تکرار پالس تخمین‌زده شده با روش پیشنهادی برای رادارهای جدول ۸



شکل ۱۰ : نمودار فازهای تخمین‌زده شده با روش پیشنهادی برای رادارهای جدول ۸

جدول ۹ نیز متوسط مقادیر حاصل از تخمین فرکانس تکرار پالس و فاز نمودار شکل‌های ۹ و ۱۰ را نشان می‌دهد. با مقایسه مقدار تخمین زده شده در این جدول با مقادیر واقعی جدول ۸، دقیقیت تخمین و به دنبال آن دقیقت شناسایی مشخص می‌شود.

- [11] D. J. Milojevic, B. M. Popovic, "Improved Algorithm for the Deinterleaving of Radar Pulses"; IEEE proc. F, vol. 1, pp. 98-104, 1992.
- [12] H. K. Mardia, "New Techniques For The Deinterleaving of Repetitive Sequences"; IEE proceedings F , Vol . 136 pt. F, No.4 , pp. 149-154, 1989.
- [13] A. Nasseri, H. S. ShahHosseini, M. Naderi, "Nested Radar Pulses Simulator"; Collection Articles Conf. Electronic and Police Tech., 2004 (In Persia).
- [8] B. M. Sadler, S. D. Casey, "PRI Analysis From Sparse Data via a Modified Euclidean Algorithm"; IEEE proc.of ASILOMAR - 29, pp. 1147-1151, 1996.
- [9] J. Perkins, I. Coat, "Pulse Train Deinterleaving via The Hough Transform"; IEEE Int. conf. on signal proc. vol.3, pp. 197-200, 1994.
- [10] J. B. Moore, V. Krishnamurthy, "Deinterleaving Pulse Trains Using Discrete – Time Stochastic Dynamic Linear Models"; IEEE transaction on signal proc. vol. 42 , No. 11, pp. 3092-3103, 1994.

Archive of SID